

МИНИСТЕРСТВО ОБРАЗОВАНИЯ И НАУКИ
РОССИЙСКОЙ ФЕДЕРАЦИИ

ФЕДЕРАЛЬНОЕ ГОСУДАРСТВЕННОЕ АВТОНОМНОЕ
ОБРАЗОВАТЕЛЬНОЕ УЧРЕЖДЕНИЕ ВЫСШЕГО ОБРАЗОВАНИЯ
«САМАРСКИЙ ГОСУДАРСТВЕННЫЙ АЭРОКОСМИЧЕСКИЙ
УНИВЕРСИТЕТ ИМЕНИ АКАДЕМИКА С. П. КОРОЛЕВА
НАЦИОНАЛЬНЫЙ ИССЛЕДОВАТЕЛЬСКИЙ УНИВЕРСИТЕТ» (СГАУ)

УДК _____
№ госрегистрации _____
Инв. № _____

«УТВЕРЖДАЮ»
Проректор университета
по науке и инновациям
д. т. н., профессор
А. Б. Порфирьев
_____ 20____ г.

ОТЧЁТ
О НАУЧНО-ИССЛЕДОВАТЕЛЬСКОЙ РАБОТЕ
по теме
**ВЫДЕЛЕНИЕ ЦЕНТРАЛЬНЫХ ЛИНИЙ СОСУДОВ С
ИСПОЛЬЗОВАНИЕМ ВЕЙВЛЕТ-ПРЕОБРАЗОВАНИЯ**

Студент гр. 6407 Ионкин М. А.

Руководитель работы Ильясова Н. Ю.

РЕФЕРАТ

Отчет 25 с., 6 рисунков, 10 использованных источников.

ВЕЙВЛЕТ, ДВУМЕРНОЕ ВЕЙВЛЕТ-ПРЕОБРАЗОВАНИЕ, ОБРАБОТКА
ИЗОБРАЖЕНИЙ, ЦЕНТРАЛЬНЫЕ ЛИНИИ СОСУДОВ

ОБОЗНАЧЕНИЯ И СОКРАЩЕНИЯ

$2D\ CWM$ двумерный комплексный вейвлет Морле;

\hat{f} фурье-преобразование функции f ;

f^* комплексно-сопряженная к f функция;

Δf лапласиан функции f ;

$L^p(\mathbb{R}^n)$ пространство измеримых функций $\{f(x), x \in \mathbb{R}^n\}$, p -я ($p \geq 1$) степень которых абсолютно интегрируема;

$\|f\|$ норма функции f гильбертова пространства;

$\langle f, \phi \rangle$ скалярное произведение функций $f(x), \phi(x) \in L^2(\mathbb{R}^n)$;

$|x|$ евклидова норма вектора x .

СОДЕРЖАНИЕ

Введение	5
1 Вейвлет	6
1.1 Определение	6
1.2 Вейвлет-преобразование	8
1.3 Виды вейвлетов	9
2 Создание программы	16
2.1 Дискретное преобразование	16
2.2 Вейвлет Морле	16
Список использованных источников	17
Приложение А. Исходный код программы	18

ВВЕДЕНИЕ

Выделение центральных линий сосудов на изображении помогает врачу произвести диагностику таких заболеваний, как гипертония, сахарный диабет, атеросклероз, сердечно-сосудистые заболевания и инсульт [1], а также наиболее распространенную причину слепоты — диабетическую ретинопатию. Уже созданы приборы (напр., Navitel), использующие сведения о выделенных линиях сосудов.

Автоматизация этого процесса может позволить:

- перенести рутинную работу на компьютер;
- ускорить процесс диагностики;
- уменьшить фактор субъективности;
- уменьшить вероятность ошибки;
- удешевить диагностику;
- сделать процесс диагностики доступным менее квалифицированному специалисту.

С 1980-х годов вейвлеты стали все более активно применяться в различных отраслях [2, 3]. В [1] описано применение вейвлета Морле (см. подраздел 1.3.2) в процессе сегментации кровеносных сосудов, и приводится результат выделения сосудов. Однако, в данном источнике очень сжато и нечетко описан процесс, приведший к результату. На взгляд автора, применение вейвлетов в медицине в русскоязычных источниках недостаточно освещено.

Для осуществления дискретных (в том числе двумерных) вейвлет-преобразований существуют математические пакеты от *Matlab*, *Scilab* и *Mathematica*. Также есть *open source*¹⁾ пакеты на таких языках, как *Fortran*, *Phyton* и, в смеси с последним, на *C*. В данной работе приводится реализация двумерных вейвлет-преобразований, — как непрерывных, так и дискретных, — на платформе .NET. Затем каждое из реализованных преобразований тестируется на некотором наборе изображений (которые предварительно фильтруются): производится настройка программного комплекса. Наконец, полученный программный комплекс проходит тестирование на контрольной выборке.

¹⁾англ. open-source software — открытое программное обеспечение

1 ВЕЙВЛЕТ

1.1 Определение

1.1.1 Одномерный вейвлет

Стефан Маллат в [4] определяет одномерный вейвлет как функцию $\psi(t) \in L^2(\mathbb{R})$ с нулевым средним:

$$\int_{\mathbb{R}} \psi(t) \, dt = 0, \quad (1.1)$$

с единичной нормой:

$$\int_{\mathbb{R}} |\psi(t)|^2 \, dt = 1, \quad (1.2)$$

сосредоточенную в окрестности точки $t = 0$.

Временно-частотные коэффициенты $\{ \psi_{b,s} \}$ вычисляются путем масштабирования ψ по s и смещения по b :

$$\psi_{b,s}(t) = \frac{1}{\sqrt{s}} \psi\left(\frac{t-b}{s}\right), \quad b \in \mathbb{R}, \, s \in \mathbb{R}^+. \quad (1.3)$$

Дискретный случай более сложен для описания [4]:

- регулярность дискретной последовательности не определена;
- необходимо сохранение свойств ортогональности;
- для него нужно отдельно рассматривать граничные случаи.

Однако, дискретные алгоритмы требуют вычисления лишь конечного числа свёрток.

Переход от непрерывности к дискретности дает формулу для вычисления вейвлет-коэффициентов [5]:

$$\psi_{n,i}(t) = \frac{1}{\sqrt{2^i}} \psi\left(\frac{t}{2^i} - n\right), \quad n \in \mathbb{Z}, \, i \in \mathbb{N}. \quad (1.4)$$

Примечание. Вместо числа '2' в формуле (1.4), вообще говоря, может стоять и другое положительное число.

1.1.2 Двумерный вейвлет

Согласно [6], двумерный вейвлет есть комплекснозначная функция $\psi(x) \in L^2(\mathbb{R}^2)$, для которой выполняется условие

$$c_\psi \equiv (2\pi)^2 \int_{\mathbb{R}^2} \left| \hat{\psi}(x) \right|^2 \frac{d^2x}{|x|^2} < \infty. \quad (1.5)$$

Если ψ — регулярная в \mathbb{R}^2 , то из (1.5) следует выполнение условия

$$\hat{\psi}(0) = 0 \Leftrightarrow \int_{\mathbb{R}^2} \psi(x) \, d^2x = 0. \quad (1.6)$$

Дискретный двумерный вейвлет можно определить через произведение ортогональных одномерных вейвлетов.

Тривиальный подход заключается в образовании нового вейвлета путем тензорного произведения [3]. В этом случае сжатие по двум осям может происходить независимо, и вейвлет-коэффициенты находятся из уравнения

$$\psi_{j_1, k_1, j_2, k_2}(x_1, x_2) = \psi_{j_1, k_1}(x_1) \psi_{j_2, k_2}(x_2). \quad (1.7)$$

Однако часто используют другой способ: строят вейвлет

$$2^j \psi(2^j x - k, 2^j y - l),$$

где $j, k, l \in \mathbb{Z}$ [3]. Для построения рассмотрим масштабную функцию вейвлета.

1.1.3 Масштабная функция

Скейлинг-функцией, или масштабной функцией (см. [3, 4]) называют функцию φ , удовлетворяющую уравнению

$$\varphi(x) = \sqrt{2} \sum_{k \in \mathbb{Z}} h[k] \varphi(2x - k), \quad (1.8)$$

где $\{h[k]\}$ — некоторый набор коэффициентов, определяемых вейвлет-функцией.

Для скейлинг-функции должно выполняться условие нормировки:

$$\int_{\mathbb{R}} \varphi(x) \, dx = 1, \quad (1.9)$$

и, согласно [4, 7.1.4], соотношение

$$\hat{\psi}(\omega) = \frac{1}{\sqrt{2}} e^{-i\omega} \hat{h}^*\left(\frac{\omega + \pi}{2}\right) \hat{\varphi}\left(\frac{\omega}{2}\right). \quad (1.10)$$

1.1.4 Построение двумерных дискретных вейвлетов

Пусть имеется скейлинг-функция φ и одномерный вейвлет $\psi(x - k)$. Тогда мы можем (см. [3]) сконструировать три двумерных дискретных

вейвлета:

$$\begin{cases} \Psi_{j,k,l}^{[1]}(x,y) = 2^j \varphi(2^j x - k) \psi(2^j y - l), \\ \Psi_{j,k,l}^{[2]}(x,y) = 2^j \psi(2^j x - k) \varphi(2^j y - l), \\ \Psi_{j,k,l}^{[3]}(x,y) = 2^j \psi(2^j x - k) \psi(2^j y - l). \end{cases} \quad (1.11)$$

Один из этих вейвлетов хорошо обрабатывает вертикальные линии, другой — горизонтальные, ещё один — диагональные. Недостаток данных вейвлетов в том, что в такой трактовке они могут применяться лишь к квадратным (по размеру) изображениям. В зависимости от выбранного параметра j также лучше различаются мелкие или крупные детали [3].

1.2 Вейвлет-преобразование

Пусть $f(x) \in L^2(\mathbb{R}^2)$ — функция, которую можно разложить по ортогональному базису $\psi(x)$.

Двумерное вейвлет-преобразование с вейвлетом ψ и сигналом $f(x)$ может определяться [1] уравнением вида

$$W_{\psi}^f(b, \theta, a) = c_{\psi}^{-1/2} \frac{1}{a} \int_{\mathbb{R}^2} f(x) \psi^*\left(r_{-\theta} \frac{x-b}{a}\right) d^2x, \quad (1.12)$$

где r_{θ} — матрица вращения:

$$r_{\theta} = \begin{pmatrix} \cos \theta & -\sin \theta \\ \sin \theta & \cos \theta \end{pmatrix};$$

$c_{\psi} \in \mathbb{R}_+$ — нормализующая константа из уравнения (1.5);

$b \in \mathbb{R}^2$ — вектор смещения;

$\theta \in [0, 2\pi)$ — угол поворота;

$a \in \mathbb{R}_+$ — параметр масштаба.

Такой тип вейвлет-преобразования применяется, в частности, к ориентированному¹⁾ двумерному вейвлету Морле.

Другое вейвлет-преобразование [7] задается уравнением

$$W_{\psi}^f(b, a) = \frac{1}{\sqrt{a}} \int_{\mathbb{R}^2} f(x) \psi\left(\frac{x-b}{a}\right) d^2x \quad (1.13)$$

и применяется к неориентированным вейвлетам.

¹⁾ с помощью него можно определить “направление” объекта на изображении

1.3 Виды вейвлетов

1.3.1 Вейвлет Марра, или мексиканская шляпа

Вейвлет Марра используется для анализа неориентированных объектов. Он описывается уравнениями вида

$$\psi_H(x) = (-\Delta)^n \exp\left\{-\frac{1}{2}|x|^2\right\}, \quad (1.14)$$

где $n = 1, 2, \dots$. Он характеризуется тем, что при увеличении n все больше его моментов равны нулю [6]. Применение вейвлета Марра в обработке изображений описано, например, в [7] (в частности, с помощью этого преобразование происходило выделение границ).

1.3.2 Вейвлет Морле

Вейвлет Морле относится к классу вейвлетов, используемых для анализа ориентированных объектов (сегментов, краев, поля направления и т.д.) [6]. Двумерный комплексный вейвлет Морле (2D CWM) $\psi_M(x) : \mathbb{R}^2 \rightarrow \mathbb{C}$ задается уравнением [6]

$$\psi_M(x) = \exp\{ik_0x\} \exp\left\{-\frac{1}{2}|Ax|^2\right\}, \quad (1.15)$$

где $k_0 \in \mathbb{R}^2$ — волновое число, соответствующее вейвлету ψ ;

$$A = \text{diag}[\varepsilon^{-1/2}, 1], \quad \varepsilon \geq 1.$$

Точность выполнения условия (1.6) при $\varepsilon = 1$ определяется величиной $\sqrt{2\pi} \exp\left\{-\frac{|k_0|^2}{2}\right\}$: для точности $4 \cdot 10^{-8}$ достаточно, чтобы $|k_0| \geq 6$. Поэтому вектор k_0 выбирается исходя из значения ε и требуемой точности решения задачи.

1.3.3 Вейвлет Добеши

Рассмотрим скейлинг-функцию вида

$$\varphi(x) = \sqrt{2} \sum_{k=0}^N d_k \varphi(2x - N). \quad (1.16)$$

Возьмём $N = 3$ и определим коэффициенты $\{d_k\}$ (см. [8]):

$$d_0 = \frac{1 + \sqrt{3}}{4}, \quad d_1 = \frac{3 + \sqrt{3}}{4}, \quad d_2 = \frac{3 - \sqrt{3}}{4}, \quad d_3 = \frac{1 - \sqrt{3}}{4}. \quad (1.17)$$

Согласно [3] вейвлет-коэффициенты будут однозначно определяться через коэффициенты масштабной функции:

$$\phi(x) = \sqrt{2} \sum_{k=0}^N g_k \varphi(2x - k), \quad (1.18)$$

где $g_k = (-1)^k d_{N-k}$ — вейвлет-коэффициенты.

С помощью вейвлета Добеши можно осуществить, например, следующее преобразование (на данный момент преобразования выполнены посредством *Matlab*).



Рисунок 1 – Исходное изображение № 1

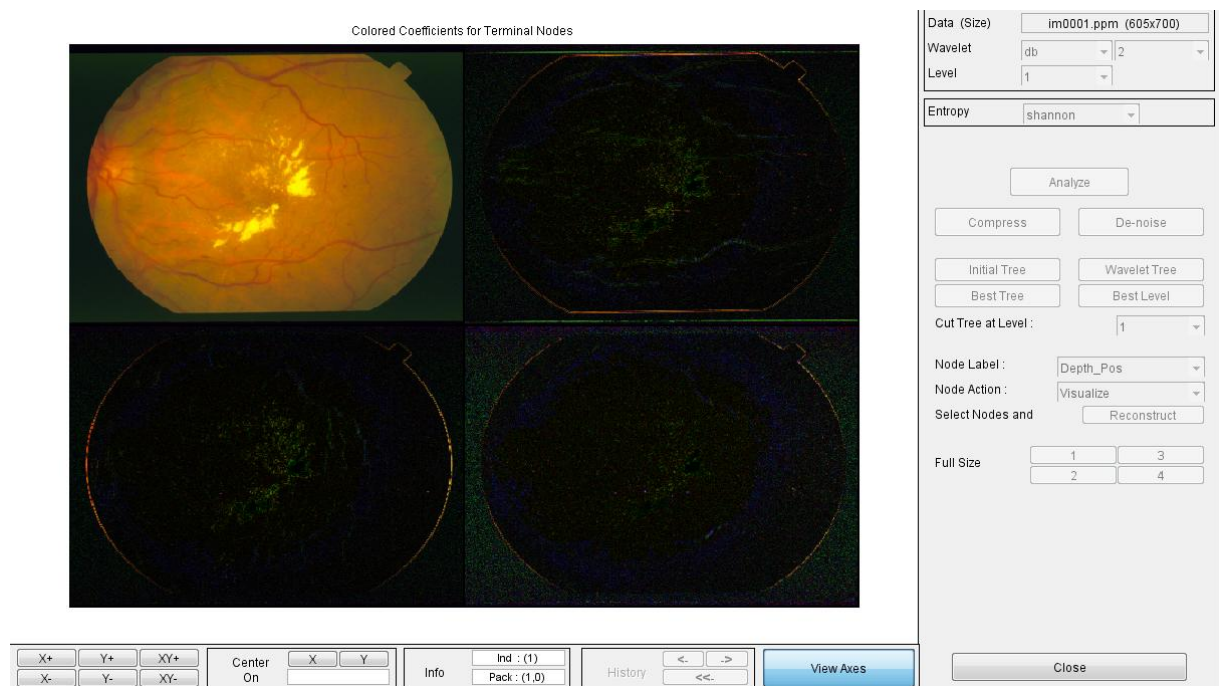


Рисунок 2 – Результат преобразования вейвлетом Добеши изображения № 1



Рисунок 3 – Исходное изображение № 2

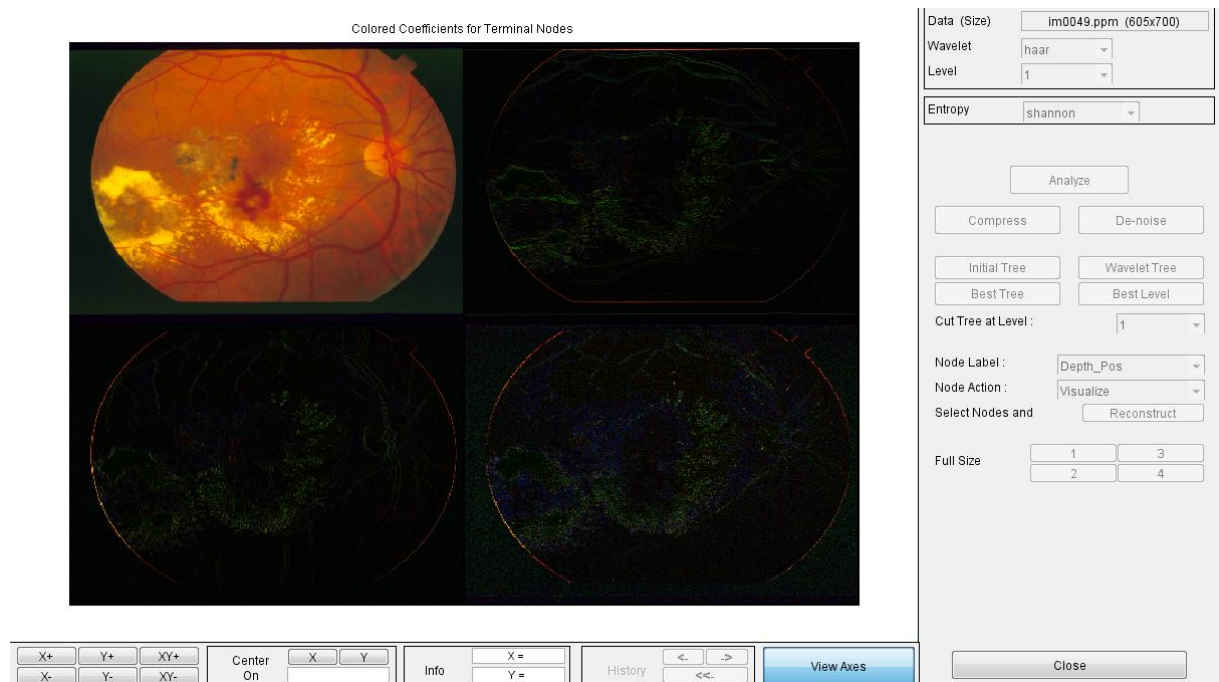


Рисунок 4 – Результат преобразования вейвлетом Добеши изображения № 2

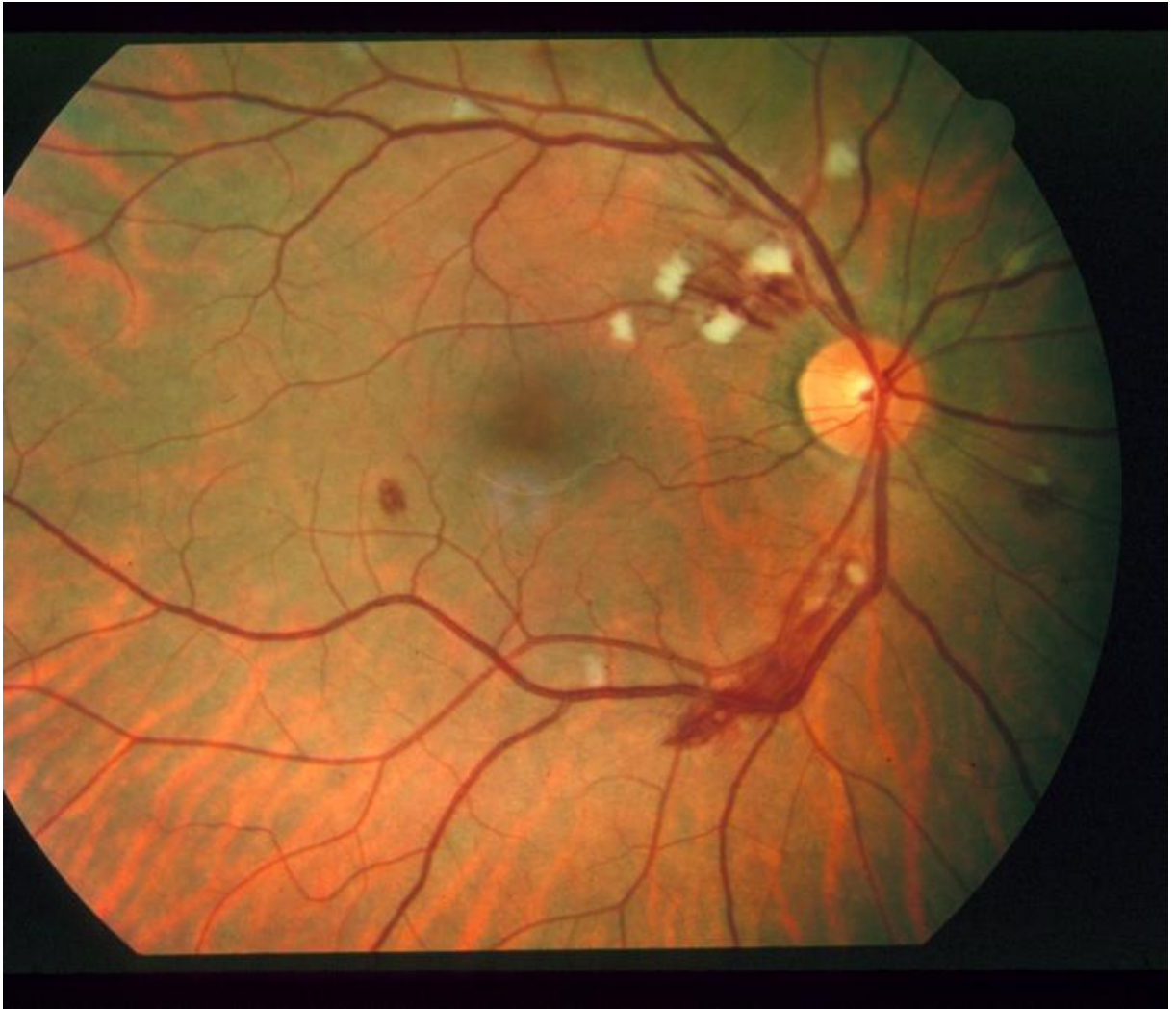


Рисунок 5 – Исходное изображение № 3

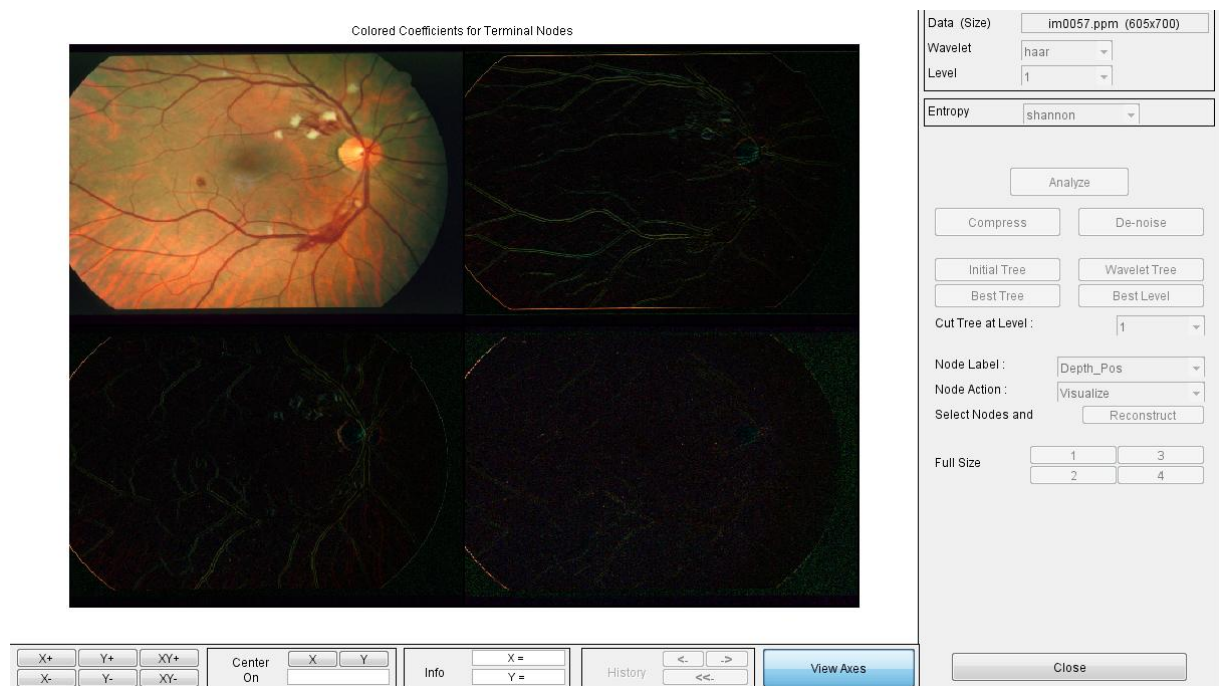


Рисунок 6 – Результат преобразования вейвлетом Добеши изображения
№ 3

2 СОЗДАНИЕ ПРОГРАММЫ

2.1 Дискретное преобразование

Был использован файл *dwt2d.c*, распространяющийся под лицензией *GNU General Public License* и опубликованный как *Free Software Foundation* на сайте Scilab [9].

2.2 Вейвлет Морле

С использованием файла [10], опубликованного на сайте Matlab под лицензией *BSD*, в соответствии с подразделом 1.3.2 автором на платформе *.NET* был написан модуль, реализующий двумерное преобразование Морле.

СПИСОК ИСПОЛЬЗОВАННЫХ ИСТОЧНИКОВ

- 1 Blood vessels segmentation in nonmydriatic images using wavelets and statistical classifiers / Jorge J. G. Leandro, Joao V. B. Soares, Roberto M. Cesar Jr., Herbert F. Jelinek / Computer Graphics and Image Processing, 2003. SIBGRAPI 2003. XVI Brazilian Symposium on. — IEEE, 2003. — October. — P. 262 – 269. — URL: http://ieeexplore.ieee.org/xpl/freeabs_all.jsp?arnumber=1241018.
- 2 Вейвлет-анализ в примерах: Учебное пособие / О.В. Нагорнов, В.Г. Никитаев, В.М. Простокишин et al. — М. : НИЯУ МИФИ, 2010. — URL: http://library.mephi.ru/Data-IRBIS/book-mephi/Nagornov_Vejvlet-analiz_v_primerah_2010.pdf.
- 3 Дремин И.М., Иванов О.В., Нечитайло В.А. Вейвлеты и их использование // Успехи физических наук. — 2001. — Май. — Vol. 171, no. 5. — P. 465–502. — URL: https://ufn.ru/ufn01/ufn01_5/Russian/r015a.pdf.
- 4 Mallat S. A Wavelet Tour of Signal Processing. — 3 edition. — Academic Press, 2008.
- 5 Shensa M. J. The discrete wavelet transform: Wedding the à trous and Mallat algorithms, IEEE Trans. Signal Process. — 1992.
- 6 Antoine J-P. The Continuous Wavelet Transform in Image Processing, Institut de Physique Theorique Universite Catholique de Louvain. — Louvain-la-Neuve, Belgium, 2007.
- 7 Sarvaiya Jignesh N, Patnaik Dr. Suprava. Automatic Image Registration Using Mexican Hat Wavelet, Invariant Moment, and Radon Transform // International Journal of Advanced Computer Science and Applications(IJACSA), Special Issue on Image Processing and Analysis. — 2011. — URL: <http://dx.doi.org/10.14569/SpecialIssue.2011.010111>.
- 8 Демьянович Ю.К., Ходаковский В.А. Введение в теорию вейвлетов, Петербургский государственный университет путей сообщения. — Санкт-Петербург, 2007. — URL: http://www.math.spbu.ru/parallel/pdf/dh_theory.pdf.
- 9 Liu Roger, Nahrstaedt Holger. 2-D signal decomposition and reconstruction (version: 0.2.0). — URL: <http://forge.scilab.org/index.php/p/swt/source/tree/master/src/c/dwt2d.c>.
- 10 Cicconet Marcelo. Morlet Wavelet Kernel (version: 1.3). — 2012. — URL: <http://www.mathworks.com/matlabcentral/fileexchange/37839-morlet-wavelet-kernel>.

ПРИЛОЖЕНИЕ А.

ИСХОДНЫЙ КОД ПРОГРАММЫ

```
using System;
using System.Collections.Generic;
using System.Linq;
using System.Text;
using System.Drawing;
using System.Drawing.Imaging;

namespace ScienceWork
{
    public static class MyMath
    {
        public static double two(double x)
        {
            return x + x;
        }
        public static double fo(double x)
        {
            return two(x + x);
        }
        public static double sqr(double x)
        {
            return x * x;
        }
    }

    public static class Matrix
    {
        public static double[] Multi(double[][] A, double[]
            b)
        {
            int n = A.Length;
            double[] res = new double[n];
            for (int i = 0; i < n; i++)
                res[i] = Vector.Scalar(A[i], b);
            return res;
        }
    }

    public static class Vector
    {
        public static double Scalar(double[] a, double[] b)
        {
            double res = 0.0;

```

```

        for (int i = 0; i < a.Length; i++) res += a[i] *
            b[i];
        return res;
    }
    public static double Sum(double[] a)
    {
        double res = 0.0;
        for (int i = 0; i < a.Length; i++) res += a[i];
        return res;
    }
    /// <summary>
    /// a - b
    /// </summary>
    /// <param name="a"></param>
    /// <param name="b"></param>
    /// <returns></returns>
    public static double[] Dif(double[] a, double[] b)
    {
        double[] res = new double[a.Length];
        for (int i = 0; i < a.Length; i++)
            res[i] = a[i] - b[i];
        return res;
    }
    public static double[] Del(double[] a, double b)
    {
        double oneDelB = 1.0 / b;
        double[] res = new double[a.Length];
        for (int i = 0; i < a.Length; i++)
            res[i] = a[i]*oneDelB;
        return res;
    }
}
public static class Integral
{
    public static double Simpson(double[] f)
    {
        double res = 0.0;
        int n = f.Length;
        res += (f[0] + f[n]);

        double sum1 = 0.0;
        for (int i = 1; i < n - 1; i += 2) sum1 += f[i];

        double sum2 = 0.0;
        for (int i = 2; i < n - 1; i += 2) sum2 += f[i];

        res += MyMath.fo(sum1) + MyMath.two(sum2);
    }
}

```

```

        res *= 0.333333;
        return res;
    }
}

public interface Wavelet
{
}

public class ValImage
{
    public double[][] f { public get; private set; }
    public int Height { public get; private set; }
    public int Widht { public get; private set; }
    void init(Bitmap bitmap)
    {
        Height = bitmap.Height;
        Widht = bitmap.Width;
        for (int i = 0; i < Height; i++)
            for (int j = 0; j < Widht; j++)
                f[i][j] = bitmap.GetPixel(i, j).G;
    }
    public ValImage(String fileName)
    {
        init(new System.Drawing.Bitmap(fileName));
    }
}

public class Morlet
{
    class MyExp
    {
        double argRe;
        double argIm;
        double modul;
        public MyExp(double argRe, double argIm)
        {
            this.argIm = argIm; this.argRe = argRe;
            modul = Math.Exp(argRe);
        }
        public double Modul()
        {
            return modul;
        }
        public double Arg()
        {
            return argIm;
        }
        public double Re()
        {

```

```

        return modul * Math.Math.Cos(argIm);
    }
    public double Im()
    {
        return modul * Math.Math.sin(argIm);
    }
}
double[] k;
double oneToSqrtEps;
// no correct!!!
double c_psi_norm = 1.0;
double[][] fConstMatr;
int n;
int m;
double[][] R;
void SetR(double angle)
{
    double cosAngle = Math.Cos(angle);
    double sinAngle = Math.Sin(angle);
    R = new double[2][];
    R[0] = new double[] { cosAngle, -sinAngle };
    R[1] = new double[] { sinAngle, cosAngle };
}
public MyExp Psi(double[] x0)
{
    double[] x = new double[2];
    x[0] = x0[0] * oneToSqrtEps; x[1] = x0[1];
    double argRe = -0.5 * Vector.Scalar(x, x);
    double argIm = Vector.Scalar(k, x);
    return new MyExp(argRe, argIm);
}
public double[] W(double[] b, double angle, double a)
{
    double[] funToIntRe = new
        double[fConstMatr[0].Length];
    double[] funToIntIm = new
        double[fConstMatr[0].Length];
    for (int i = 0; i < fConstMatr.Length; i++)
    {
        for(int j = 0; j<fConstMatr[0].Length;j++)
        {
            double[] x = new double[]{i,j};
            double[] pr2 =
                Vector.Del(Vector.Dif(x,b),a);
            SetR(angle);
            MyExp exps = Psi(Matrix.Multi(R, pr2));
            double[] psi = new double[] {exps.Re(),

```

```

        exps.Im()});
        funToIntRe[j] = fConstMatr[i][j] *
            psi[0];
        funToIntIm[j] = fConstMatr[i][j] *
            psi[1];
    }

    }
    double[] ints = new double[2];
    //ints[0] = Integral.Simpson();
    //ints[1] = Integral.Simpson();
    return ints;
}
void setK(double accuracy)
{
    k = new double[] { 6.0, 6.0 };
}
public double[] kernelCWT2D(double[] a, double[] sc,
    double theta)
{
    int n = a.Length;
    double[] res = new double[n];

    return res;
}
public Morlet(String fileName, double eps, double
    accuracy)
{
    ValImage valImage = new ValImage(fileName);
    fConstMatr = valImage.f;
    n = fConstMatr.Length;
    m = fConstMatr[0].Length;

    oneToSqrtEps = 1.0 / Math.Sqrt(eps);
    setK(accuracy);
}
}
public class Gabor
{
    // original author:
    // Marcelo Cicconet, New York University
    // marceloc.net
    public double[,] kernelCWT2D(double scale, double
        orientation, int npeaks){
        double theta =
            -(orientation-90.0)/360.0*2.0*Math.PI;
        // controls width of gaussian window (default:

```

```

        scale)
double sigma = scale;
// controls elongation in direction
    perpendicular to wave
double gamma = 0.5;

// width and height of kernel
double support = 2.5*sigma/gamma;

// wavelength (default: 4*sigma)
double lambda = 1/npeaks*4*sigma;

// phase offset (in radians)
double psi = 0;

double xmin = -support;
double xmax = -xmin;
double ymin = xmin;
double ymax = xmax;

double[] xs = new double[(int)(xmax-xmin)+1];
double[] ys = new double[(int)(ymax-ymin)+1];

int n = xs.Length;
int m = ys.Length;

double[,] xprime = new double[m,n];
double[,] yprime = new double[m,n];
for (int i = 0; i<m; i++) for (int j = 0; j < n;
    j++){
    xprime[i,j] = Math.Cos(theta)*xs[j] +
        Math.Sin(theta)*ys[i];
    yprime[i,j] = -Math.Sin(theta)*xs[j] +
        Math.Cos(theta)*ys[i];
}
double[,] expf = new double[m,n];
for (int i = 0; i<m; i++) for (int j = 0; j < n;
    j++){
    expf[i,j] = Math.Exp(-0.5/MyMath.sqr(sigma)*
        (MyMath.sqr(xprime[i,j])
        +MyMath.sqr(gamma*yprime[i,j])));
}
// matrixs
double[,] mr = new double[m,n];
double[,] mi = new double[m,n];
for(int i = 0; i<m; i++) for (int j =0; j<n;
    j++){

```

```

        mr[i,j] = expf[i,j] * Math.Cos( 2*Math.PI/
            lambda*xprime[i,j] +psi);
        mi[i,j] = expf[i,j] * Math.Sin( 2*Math.PI/
            lambda*xprime[i,j] +psi);
    }

    double scal1 = scalar(mr,mr)/numel(mr);
    double scal2 = scalar(mi,mi)/numel(mi);
    // mean = 0
    for (int k = 0; k < m; k++) for (int l = 0; l <
        n; l++) {
        mr[k,l] -= scal1;
        mi[k,l] -= scal2;
    }

    // norm = 1
    for (int k = 0; k < m; k++) for (int l = 0; l <
        n; l++) {
        mr[k,l] = mr[k,l] / Math.Sqrt(scalar(mr,mr));
        mi[k, l] = mi[k, l] / Math.Sqrt(scalar(mi,
            mi));
    }
    return new double[] {mr,mi};
}

public double scalar(double[] a, double[] b)
{
    double sum = 0.0;
    for (int k = 0; k < a.Length; k++)
        sum += a[k] * b[k];
    return sum;
}

double numel(double[,] A)
{
    return (double)(A.GetLength(2));
}

double scalar(double[,] A, double[,] B)
{
    double sum = 0.0;
    for (int k = 0; k < A.Length; k++)
    {
        double sum2 = 0.0;
        for (int k = 0; k < a.Length; k++)
            sum += a[k] * b[k];
        sum += sum2;
    }
    return sum;
}

```



```
    }  
  
    class Program  
    {  
        static void Main(string[] args)  
        {  
        }  
    }  
}
```

Листинг 1 – a test for a C# code